

東京大学 学生員・阿井正博
東京大学 正員西岡 隆
東京大学 正員奥村敏惠

1. 序

これまで、ケーブル構造は、ケーブルが引張直線部材と考えられる範囲で、骨組（ヒンジ結合）の大変形理論に部材の非抗圧縮性を考慮して解析されているのが一般的であった。しかし、この方法は、ある種の決定された荷重条件（集中荷重）のもとでのケーブル構造の力学系が、その荷重条件に対応する骨組構造に置換できる場合において骨組構造として解析しているのであり、ケーブル構造本来の解析理論ではない。

本報告は、ケーブルの特性に従って、ケーブル構造一般に適用できる（例へば Deep Cable にも適用出来る）一つの変形解析の方法を提案するものである。その方法は、構造系に固有の数の力（部材力）を未知として、それに対して決まる同数の不適合量が収束する様、繰返し計算を行うものであり、一般荷重条件に対して数値的厳密解を得ることを目的としている。

2. 単一ケーブル

空間に直交座標を考え、その原点に長さ ℓ のケーブルの片端を結合し、変形前の長さにそっても座標をとる。分布荷重: $P(s) = (P_1(s), P_2(s), P_3(s))$, 集中荷重: $P_{j,i} = (P_{j,1}, P_{j,2}, P_{j,3})$, その作用点: s_j ($j=1 \sim n$), および終端の力: $T(s) = (T_{e1}, T_{e2}, T_{e3})$ による釣合形を $X(s) = (X_1(s), X_2(s), X_3(s))$ とする (Fig. 1)。この時、伸び率: $\epsilon(s)$ は

$$\epsilon(s) = \left\{ \sum_{k=1}^3 \left(\frac{dx_k}{ds} \right)^2 \right\}^{1/2} - 1 \quad \dots \dots (1)$$

で表わせる。引張部材力を $T (= EA\epsilon)$, E : 弹性定数, A : 断面積) として、

仮想仕事の式は

$$\int_0^\ell [T \delta \epsilon - \sum_{i=1}^3 P_i \delta X_i] ds$$

$$- \sum_{j=1}^n \sum_{i=1}^3 P_{j,i} \delta X_i(s_j)$$

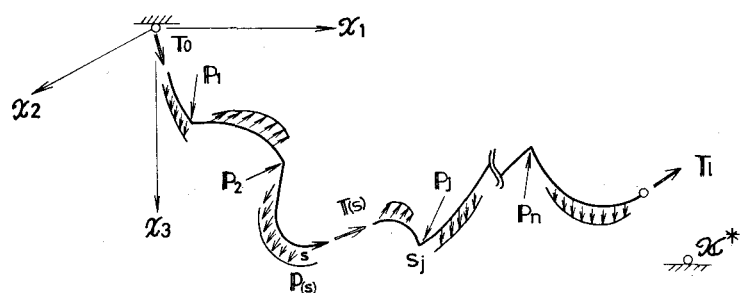


Fig. 1 Single Cable Under General Loading

$$- \sum_{i=1}^3 T_{ei} \delta X_i(\ell) = 0 \quad \dots \dots (2)$$

となる。これより得られる釣合式、境界条件式は、

$$\text{釣合式: } \frac{d}{ds} \left(T \frac{ds}{\left\{ \sum_{k=1}^3 \left(\frac{dx_k}{ds} \right)^2 \right\}^{1/2}} \right) + P_i = 0 \quad (i = 1, 2, 3) \quad (3)$$

$$\text{境界条件式: } \left(T \frac{ds}{\left\{ \sum_{k=1}^3 \left(\frac{dx_k}{ds} \right)^2 \right\}^{1/2}} \right)_{s=j+0}^{s=j+0} + P_{ji} = 0, \left(T \frac{ds}{\left\{ \sum_{k=1}^3 \left(\frac{dx_k}{ds} \right)^2 \right\}^{1/2}} \right) - T_{ei} = 0 \quad (i = 1, 2, 3) \quad (4)$$

となり、これらを解くと、釣合形は

$$X_i(s) = \int_0^s \left(-\frac{T_i(s)}{EA} + \frac{T_i(s)}{\left\{ \sum_{k=1}^3 \left(\frac{dx_k}{ds} \right)^2 \right\}^{1/2}} \right) ds, \quad (i = 1, 2, 3) \quad (5)$$

$$\text{として得られる。但し, } T_i(s) \text{ は } T_i(s) = T_{ei} + \sum_{j>s} P_{ji} + \int_s^0 p_i ds \quad (= T_{ei} - \sum_{s<j} P_{ji} - \int_0^s p_i ds) \quad (6)$$

で表わせる引張部材力の x_i 方向成分である。

原点と x_i^* の点に両端が結合された単一ケーブルの釣合形は、 $x_i(e) = x_i^*$ となるような \bar{T}_e (又は \bar{P}_e)を繰返し計算により求めればよい。ここでは、仮定した $\bar{T}_e(\bar{T}_e)$ に対して $x_i(e)$ を求めるとき同時に

$$\frac{\partial x_i}{\partial T_{ij}} \Big|_{S=0} \left(= \frac{\partial x_i}{\partial T_{0j}} \Big|_{S=0} \right) = \int_0^L \left(\delta_{ij} \left\{ \frac{1}{EA} + \left(\frac{2}{\sum_{k=1}^3 T_k^2} \right)^{\frac{1}{2}} \right\} - \left(\frac{T_i + T_j}{\sum_{k=1}^3 T_k^2} \right)^{\frac{3}{2}} \right) ds \quad (7)$$

として表わせる成分をもつマトリックス: $\left(\frac{\partial x_i}{\partial T_e} \right)$ を求めて、 $\Delta \bar{T}_e = \left(\frac{\partial x_i}{\partial T_e} \right)^{-1} (x_i^* - x_i(e))$ として \bar{T}_e を補正する繰返し計算により収束値を得る方法をとる。

3. 組合せケーブル

单一ケーブルを組合せて固定節点で支持したケーブル構造では、構造系に固有の数の部材力を適当な箇所で仮定すると、すべての部材力は一義的に決まる。そして、その部材力による釣合形を(5)式より求めると、同数の不適合箇所が生じるが、それらが適合するような部材力を見出す事により真の釣合形が得られる。

最初に仮定する部材力の数(不適合箇所の数)を不適合数と呼ぶ事にすれば、

$$(\text{不適合数}) = (\text{閉合数}) + (\text{固定節点数}) - 1 \quad (8)$$

で表わせる。ここで、閉合数とは空間でケーブルが閉曲線をつくっている数である。

以下(Fig. 2)を例とし変形解析の方法を説明す

る。部材力 $\bar{T}_1, \bar{T}_2, \bar{T}_3$ を仮定すれば、すべての部材力は一義的に決まり、各部材始端力は

$$\begin{cases} \bar{T}_{01} \\ \bar{T}_{02} \\ \bar{T}_{03} \\ \bar{T}_{04} \\ \bar{T}_{05} \\ \bar{T}_{06} \end{cases} = \begin{cases} I & O & I \\ O & I & -I \\ O & O & O \\ I & O & O \\ I & O & I \\ O & O & I \end{cases} \begin{cases} \bar{U}_1 \\ \bar{U}_2 \\ \bar{U}_3 \\ \bar{U}_4 \\ \bar{U}_5 \\ \bar{U}_6 \end{cases} + \begin{cases} \bar{U}_1 + \dots + \bar{U}_6 \\ \bar{U}_2 + \bar{U}_3 \\ \bar{U}_3 \\ \bar{U}_4 \\ \bar{U}_4 + \bar{U}_5 + \bar{U}_6 \\ \bar{U}_6 \end{cases} + \begin{cases} P_J^1 + P_J^2 + P_J^3 \\ P_J^4 \\ P_J^5 \\ P_J^6 \\ 0 \\ 0 \end{cases}$$

$$\left. \begin{array}{l} (\text{一般には}) \\ \{ \bar{T}_e \} = \{ S_p \} \{ \bar{T} \} + \{ \bar{U} \} + \{ P_J \} \end{array} \right) \quad (9)$$

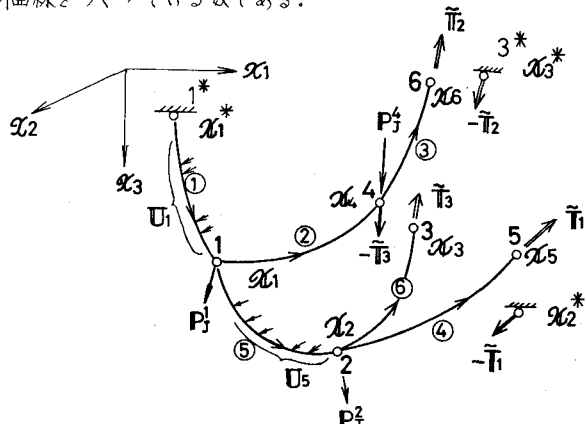


Fig. 2 Non-Compatible Equilibrium Figure

として $\{ \bar{T} \}$ の1次結合として表わせる。ここで、 \bar{T}_i は部材 i に作用する荷重、 P_J^i は節点 j に作用する集中荷重を表わす(Iは単位行列)。各部材始端力を(6)式に適用して、(5)(7)式より各、 $x_i M_i, \frac{\partial x_i M_i}{\partial \bar{T}_e i}$ ($x_i M_i$:部材 i の始端と終端間の相対座標)を求める事ができる。これらを組合せて、不適合座標は

$$\begin{cases} x_2^* - x_5 \\ x_3^* - x_6 \\ x_4^* - x_3 \end{cases} = \begin{cases} -I & O & O & -I & I & 0 \\ -I & -I & -I & 0 & 0 & 0 \\ 0 & I & 0 & 0 & -I & -I \end{cases} \begin{cases} x_1 M_1 \\ \vdots \\ x_6 M_6 \end{cases} + \begin{cases} x_2^* - x_5^* \\ x_3^* - x_1^* \\ 0 \end{cases} \quad \left(\begin{array}{l} (\text{一般には}) \\ \{ \Delta x \} = \{ S_x \} \{ x_M \} + \{ \Delta x^* \} \end{array} \right) \quad (10)$$

として決まる。仮定した $\{ \bar{T} \}$ の値に対して線型化した時の $\{ \Delta x \}$ に対する $\{ \Delta \bar{T} \}$ は

$$\{ \Delta \bar{T} \} = -((\$_x)(Q)(\$_p))^{-1} \{ \Delta x \} \quad (11)$$

として得られる。但し、(Q)は $\frac{\partial x_i M_i}{\partial \bar{T}_e i}$ を対角にならべた行列である。 $\{ \bar{T} \} \rightarrow \{ \bar{T} \} + \{ \Delta \bar{T} \}$ に補正して繰返し計算をする事により、 $\{ \Delta x \} = \{ 0 \}$ となる $\{ \bar{T} \}$ を得る事ができ、部材上の任意点の座標を得ることが出来る。

なお、本研究は文部省科学研究費の補助を受けたことを付記する。

(参考文献)

- O'Brien, W.Terence, and Francis, Arthur J. "Cable Movements Under Two-Dimensional Loading," ASCE, Vol.90, NO. ST3, Proc.Paper 3929, June, 1964, pp.89-123.
- H.Millmann "Analysis of Plane Prestressed Cable Structures", ASCE, Vol.96, NO. ST10, Proc.Paper 7598, October, 1970.